

### مقاله علمی (تحقیقی)

## بررسی توزیع تنش در فک پایین با تغییر ناحیه جوش (Bitting) در پروتز کامل به روش اجزای محدود

دکتر جعفر رستمیان \*

دکتر اسماعیل شریفی \*\*

دکتر محمد رضایی پژند \*\*\*

دکتر سید رضا سرافرازی \*\*\*\*

### چکیده:

در این بررسی نحوه توزیع تنش در فک پایین با توجه به تغییر محل تماسهای دندانی در وضعیت CR مورد بررسی قرار گرفته است. روش به کار رفته روش اجزای محدود سه بعدی می باشد که در تحلیل سازه های پیچیده مهندسی کاربرد وسیعی دارد.

برای این منظور، الگوی سه بعدی از فک پایین به همراه ساختمانهای حمایت کننده از دنچر مانند نسج نرم باقیمانده روی استخوان متراکم و استخوان اسفنجی تهیه شد، سپس نحوه توزیع تنش با توجه به محل تماسهای دندانی مورد بررسی قرار گرفت و نتایج زیر بدست آمد:

محل تمرکز تنش فشاری و کششی حداکثر در زاویه فک در قسمت قدامی سرکنده ایل قرار دارد که در شرایط مختلف تماسی محل آن تغییر نمی کند. با وجود این، هرچه نقاط تماس دندانی قدماتر قرار گیرد؛ میزان تنشهای کششی و فشاری افزایش می یابد. در شرایط تماسی مختلف ناحیه فورامن

\* استادیار گروه آموزشی پروتزهای دندانی دانشکده دندانپزشکی دانشگاه علوم پزشکی اهواز.

\*\* دانشیار گروه آموزشی پروتزهای دندانی دانشکده دندانپزشکی دانشگاه علوم پزشکی مشهد.

\*\*\* دانشیار گروه آموزشی عمران دانشکده مهندسی دانشگاه فردوسی مشهد.

\*\*\*\* عضو هیأت علمی دانشکده مهندسی دانشگاه بیرجند.

تش می‌باشد. ایراد اساسی در این روش تهیه موادی است که از نظر ضریب کشسانی کاملاً مشابه با بافت‌های دهانی باشند. (۲)

#### ۴- روش نظری (Theoretical Method)

در این روش از فرمول‌های مهندسی استفاده می‌شود که احتیاجی به روش‌های تجربی ندارد اما نیاز به محاسبات بسیار پیچیده ریاضی دارد. (۳)

#### ۵- روش اجزای محدود (Finite Element Method)

پایه و اساس این روش بر گستته سازی یک محیط پیوسته و کاهش بی‌نهایت مجھول به یک تعداد مجھول محدود است. یا به عبارت دیگر اساس این روش بر تقسیم یک جسم مرکب به اشکال هندسی ساده‌تر می‌باشد. در این روش ساختمان اصلی به تعداد محدودی عناصر ساختاری مجزا با شکل هندسی معین تقسیم و در کنار یکدیگر قرار می‌گیرند، به گونه‌ای که توسط تعداد محدودی نقاط تماس (گره‌ها) به یکدیگر مرتبط و متصل می‌شوند. وقتی که ساختمان اولیه به تعداد مناسبی از اشکال هندسی منظم تقسیم می‌شود عناصر یا اجزای محدود پدید می‌آید. این بخش‌های مجزا، خواص واقعی ماده حقیقی را حفظ می‌کنند و به این طریق توزیع تنش وارده بر هر قطعه کوچک بررسی شده و از مجموع اطلاعات حاصل، توزیع تنش در جسم اصلی استخراج می‌شود. سازه‌هایی که شکل هندسی ساده و منظمی داشته باشد کافی است که به تعداد کمی اجزا تقسیم شوند اما در مورد اجسامی که شکل پیچیده‌ای دارند باید دارای تعداد اجزای بیشتری باشند و از روش تحلیل سه‌بعدی استفاده کرد تا دقیق تحلیل بالاتر رود. (۴)

### مرواری بر مقالات:

J.A. Ralph, A.A. Caputo در سال ۱۹۷۵ با استفاده از روش نور کشسانی سه بعدی چگونگی پخش نیروها را در فک پایین مورد بررسی قرار دادند. طبق بررسی آنها در طی بارگذاری دو طرفه در ناحیه مولرها خطوط اصلی پخش نیروها در امتداد لبه خلفی از زاویه فک به طرف شاخه صعودی راموس تا کنديل، به طور مایل از ناحیه مولرها در تنہ به طرف راموس تا کنديل، از ناحیه مولر به طرف بالا تا لبه قدامی راموس و تا زائد کرونئید و در امتداد لبه سیگموئید ناج، بوده و در بارگذاری یک طرفه، مسیر پخش تنش برای طرف زیر اثر بار و طرف مقابل طراحی متفاوت را نشان می‌دهد. (۵)

ماندیبولر زیر اثر تنشهای کشش و فشاری بسیار کم قرار دارد.

کلید واژه‌ها: بیومکانیک - پروتزر کامل - روش اجزای محدود.

## مقدمه:

بررسی اتفاقاتی که در فک پایین انسان در هنگام اعمال نیروهای فانکشنال روی می‌دهد، از سابقه‌ای طولانی برخوردار است ولی هنوز تمامی جنبه‌های آن به طور کامل شناخته نشده است. عمدترين علت آن عدم وجود روش‌های مناسب بررسی می‌باشد. روش‌های مستقیم بررسی تنشها و نیروها به دلیل ماهیت آسیب‌رسان خود، در انسان قابل اجرا نیستند. از سوی دیگر، مدل‌سازی مکانیکی و ریاضی اغلب بر پایه پیش فرضهایی بنا می‌شود که درستی آنها به طور کامل پذیرفته نیست. از این میان، استفاده از روش اجزای محدود به علت توانایی در حل دقیق مسائل بدون امکان آسیب‌رسانی و ارائه مدلی تا حد امکان واقعی می‌تواند بسیار مفید باشد. با وجود این، تاکنون پژوهش جامعی در زمینه بررسی توزیع تنشها در فک پایین هنگامی که شخص بی‌دنان می‌شود و از پروتزر کامل استفاده می‌کند، به عمل نیامده است. یکی از عواملی که می‌تواند در این تنشها دخالت داشته باشد نحوه تماس دندانهای مصنوعی است. بررسی تنشها در بافت‌های زیرین دست دندان و در فک به روش‌های گوناگونی صورت می‌گیرد:

### ۱- روش پوشش‌های ترد و شکننده (Brittle Lacquer Coating Technique):

در این روش یک لایه لاک روی دنچر اسپری می‌شود، پس از خنک شدن آن به دنبال بارگذاری در مسیر دلخواه، ترکهایی در سطح لاک ایجاد می‌شود. عمدترين اشکال این فناوری این است که ترکهایی که در هنگام بارگذاری به آسانی دیده می‌شود با حذف آن ناپدید می‌گردد. (۱)

### ۲- روش کرنش سنج الکتریکی (Electrical Strain Gauge):

در این روش کرنش ایجاد شده در جسم اندازه‌گیری و با توجه به اینکه اکثر مواد دارای رابطه مستقیم یا خطی بین تنش و کرنش هستند با استفاده از ضربی کشسانی می‌توان به میزان تنش بی برد. (۱)

### ۳- روش نورکشسانی (Photoelastic Method):

در این روش تنشهای داخلی در اجسامی که تحت تأثیر نیروهای مختلف قرار گرفته‌اند به الگوهای نوری تبدیل می‌شوند. خطوط ایجاد شده در این فناوری میان جهت، اندازه و محل

A.A. Caputo, J.P. Standle نتایج مشابهی را با روش فوق گزارش کردند (۶) روش

اجزای محدود اولین بار توسط Konell در سال ۱۹۷۷ برای بررسی توزیع تنش در فک پایین بکار رفت.

Hylander با استفاده از کرنش سنج الکتریکی نشان داد که طرح توزیع نیرو در کنديل با توجه به محل بایت می‌کند. (۷)

Haskell و همکاران در سال ۱۹۸۶ مدل دو بعدی از فک پایین را ارائه دادند. البته هدف آنها بیشتر نشان دادن ارتباط بین طرح نادرست فعالیت عضلات ماضغه و ایجاد دیسپلازی فک پایین خصوصاً دیپ بایت و اوپن بایت اسکلتال بوده است. (۸)

G.S. Throckmorton با تحلیل دو بعدی فک پایین اعلام کرد که میزان نیروی واردہ بر مفصل به مقدار زیادی به طول بازوی گشتاور برآیند نیروی عضلات و طول بازوی گشتاور محل تماس دندانی تا مرکز چرخش کنديل بستگی دارد. (۹)

V.Ferrario و همکاران فک پایین را به صورت تیری با تکیه‌گاه ساده مدل‌سازی و اعلام کردن محل Bitting در میزان نیروی واردہ بر مفصل اهمیت زیادی دارد و هرچه این محل قدامیتر قرار گیرد، نیروی واردہ بر مفصل بیشتر خواهد بود. (۱۰)

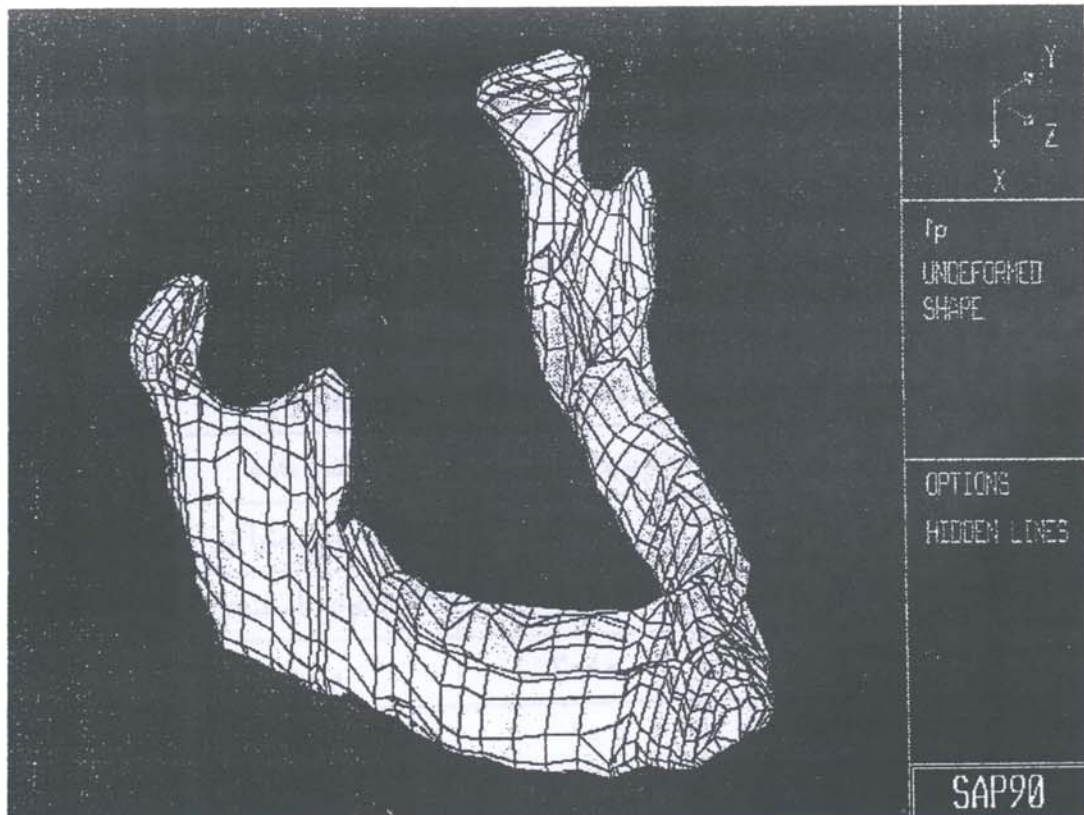
Hart و همکارانش در سال ۱۹۹۲ بیومکانیک فک پایین را به طور سه بعدی با استفاده از روش اجزای محدود مورد بررسی قرار دادند و براساس نتایج به دست آمده بیشترین تجمع تنش در ناحیه قدامی راموس، زائده کرونوئید، سیگموئید ناج، کنديل و در اطراف محل اعمال نیرو مشاهده شد. (۱۱)

Korioth و همکارانش تحلیل سه بعدی فک پایین در هنگام تماس یک طرفه دندان مولر را با استفاده از روش اجزای محدود ارائه دادند. طبق بررسی آنها بیشترین تنشهای اصلی در نقاط اعمال نیرو، سطح قدامی زائده کرونوئید، ناحیه سمفیز، تنہ فک پایین در سمت راست و چپ و استخوان آلوئول دیده می‌شود. (۱۲) همچنین Korioth در سال ۱۹۹۳ با استفاده از روش اجزای محدود تغییر شکل فک پایین و همچنین تغییرات عرض قوس فکی را در حین اعمال نیروهای مختلف مورد بررسی قرار داد. طبق نتایج حاصل فک پایین پس از اعمال نیرو دارای تغییر شکل الاستیکی می‌باشد. (۱۳)

## مواد و روشها:

یک استخوان ماندیبیول فاقد دندان از بخش آناتومی تهیه گردید و از ناحیه سمفیز نصف شد. برای آنکه وضعیت طبیعی دهان روی آن ایجاد شود، ابتدا از قسمت ریج باقیمانده استخوان با آلزینات قالب گرفته شد و پس از ریختن قالب توسط آکریل بیسی به ضخامت ۱/۵ - میلی‌متر تهیه گردید. این لایه روی ریج باقیمانده قرار شد از نظر خشامت مشابه لایه مخاط باشد، بنابراین قالب مجددی از فک، تحت شرایطی که لایه مخاط در محل خودش روی استخوان قرار داشت، گرفته شد. بدین ترتیب قالبی مشابه شرایط دهان طبیعی بدست آمد. روی کست حاصل از این مرحله بیس دنچر تهیه و با توجه به اندرس‌های مختلف مثل ریج مایل داخلی و ریج مایلوهیوئید و قسمت قدامی راموسی، دندانها چیده شد. مجموعه شامل استخوان فک، لایه مخاط (از جنس آکریل) و دنچر بود که در داخل مُفلی که مخصوص این کار ساخته شده بود قرار داده شد و به طور کامل توسط گچ ارتوپنی ریخته و در داخل گچ دفن شد. سپس به فواصل دو میلی‌متری بلوك تهیه گردید. با تریمر ارتوپنی ترمیم شده و از مجموعه استخوان، مخاط و دنچر در هر مقطع اسلاید تهیه گردید و شکل هر مقطع با بزرگنمایی شش برابر به روی کاغذ مختصات منتقل شد. پس از انتقال اطلاعات به کامپیوتر نیمه دیگر فک به صورت قرینه نیمه اول تعریف و سپس رسم گردید. بدین ترتیب شکل کامل یک ماندیبیول به صورت سه‌بعدی بدست آمد. محل تماس‌های کاسپ‌های فانکشنال فک پایین (کاسپ‌های باکال دندانهای خلفی) انتخاب شد. مقدار نیرو با استفاده از کتاب بوچر تعیین گردید که نیروی جوش در حالت بی‌دندانی تقریباً معادل ۱/۳ حالت دندانی است.

تحلیل تنش در این تحقیق با روش اجزای محدود سه‌بعدی و توسط نرم‌افزار Sap90 انجام گرفته است. برای این منظور روی نصف یک استخوان فک پایین بدون دندان، لایه مخاط دنچر ساخته شد. سپس مقاطعی با فواصل دو میلی‌متر از آن تهیه و توسط اجزای هشت گرهی مدل‌سازی گردید. خصوصیات مواد بکار رفته در مدل سازی مزبور به شرح جدول ۱ می‌باشد. پس از انتقال اطلاعات به کامپیوتر نیمه دیگر فک به صورت قرینه نیمه اول فک تعریف و تصویر سه‌بعدی فک بدست آمد. (شکل شماره ۱)



شکل شماره ۱

در این تحقیق تأثیر تماسهای دو طرفه دندانی با تغییر محل، مورد بررسی قرار گرفت و بدین منظور چهار حالت در نظر گرفته شد:

حالت fp: حداکثر تماس کاسپ‌های فانکشنال (تماس شش نقطه در رأس کاسپ با کمال دندانهای فک پایین در هر طرف)

حالت 50 fpa: کاهش تماس کاسپ‌های فانکشنال به میزان نصف حالت قبل و استقرار آنها به طور یکنواخت در قدام و خلف (تماس سه کاسپ)

حالت 50 fpb: تماس کاسپ‌های فانکشنال در ناحیه خلفی (تماس سه کاسپ در ناحیه خلفی)

حالت 50 fpc: تماس کاسپ‌های فانکشنال در ناحیه قدامی (تماس سه کاسپ در ناحیه قدامی)

هر حالت تحت باری معادل  $\frac{1}{3}$  نیروی جوشی به شکل دندان طبیعی و به طور دو طرفه قرار داده شد. (۱۵)

**نتایج:**

در این تحقیق تنشهای فشاری و کششی حداکثر، در هر چهار حالت جداگانه محاسبه گردید. نتایج حاصل شامل مقادیر تنشهای کششی و فشاری حداکثر می‌باشد که به همراه محل آن، در جدولهای ۲ و ۳ ارائه شده‌اند. در این جدول اعداد منفی میان تنشهای فشاری و اعداد مثبت بیانگر تنشهای کششی بر حسب نیوتن بر میلی‌متر مربع می‌باشد:

**جدول ۱ - خصوصیات مواد داده شده به کامپیوتر**

کد ماده	جنس ماده	ضریب الاستیسیته	ضریب یواسان	مرجع
M <sub>1</sub>	استخوان متراکم	۱۳۷۰۰	۰/۳	۱۴
M <sub>2</sub>	استخوان اسفنجی	۱۳۷۰	۰/۳	۱۴
M <sub>3</sub>	رزین	۲۰۰۰	۰/۳	۱۴
M <sub>4</sub>	مخاط	۱۰	۰/۴	۱۴

**جدول ۲ - تنشهای فشاری حداکثر همراه با شماره گره آن در هر چهار حالت تحت بارگذاری**

کد برنامه	تش فشاری حداکثر	شماره گره
fP	-۰/۱۶۴ E3	۱۶۵۷
fPa50	-۰/۱۶۱ E3	۱۶۵۷
fPb50	-۰/۱۵۰ E3	۱۶۵۷
fPc50	-۰/۱۸۸ E3	۱۶۵۷

**جدول ۳ - تنشهای کششی حداکثر همراه با شماره گره آن در هر چهار حالت تحت بارگذاری**

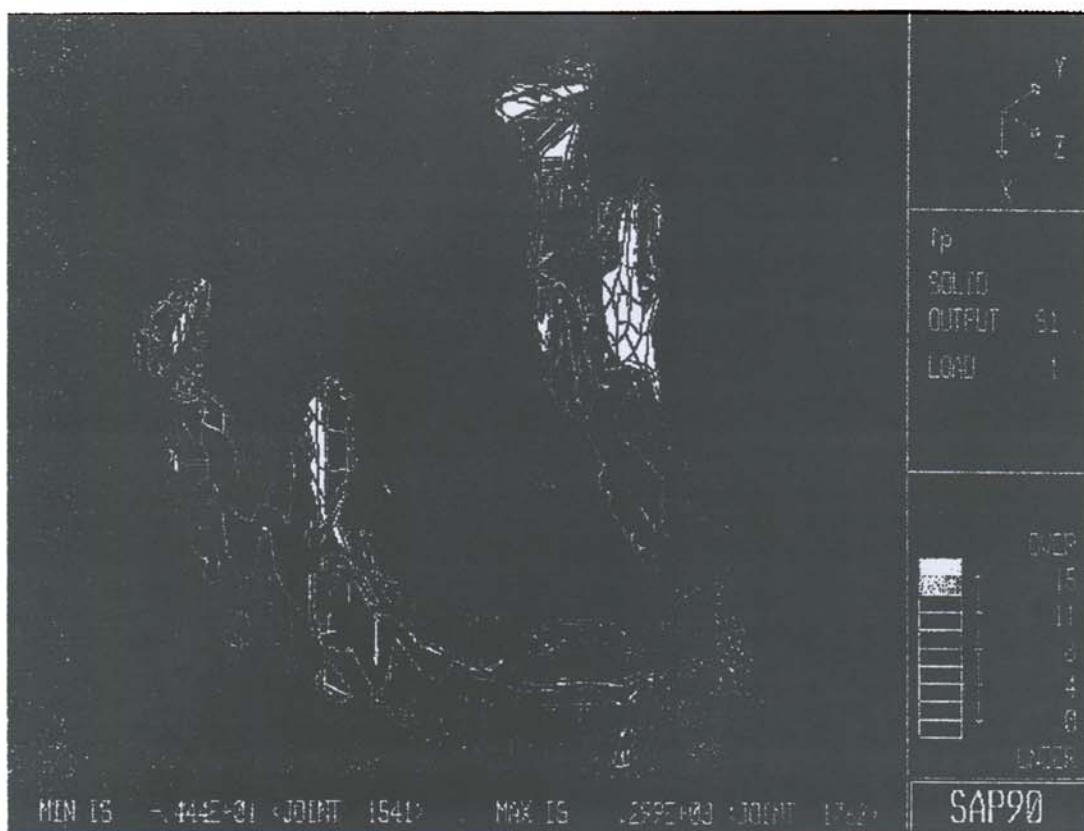
کد برنامه	تش کششی حداکثر	شماره گره
fP	-۰/۲۹۹ E3	۱۷۶۲
fPa50	-۰/۲۹۸ E3	۱۷۶۲
fPb50	-۰/۳۰۴ E3	۱۷۶۲
fPc50	-۰/۳۰۲ E3	۱۷۶۲

طبق نتایج بدست آمده در شرایط مختلف تماس محل تجمع تنش کششی و فشاری حداکثر تغییر نمی‌کند. نقطه تجمع تنشهای فشاری حداکثر در زاویه فک و نقطه تجمع تنشهای کششی حداکثر در قسمت قدامی سرکنديل قرار دارد. با توجه به جدول شماره ۲ و ۳ مشخص می‌گردد کاهش تعداد نقاط تماس کاسپ‌های فانکشنال به طور یکنواخت سبب کاهش تنشهای کششی و فشاری گردیده است ولی تمرکز تماسها در ناحیه خلفی نسبت به حالت معمول (fP) باعث کاهش تنشهای فشاری و افزایش تنشهای کششی حداکثر شده است. همچنین تمرکز تماسها در ناحیه قدامیتر نسبت به حالت معمول (fP) باعث افزایش تنشهای فشاری و کششی حداکثر شده است. نکته قابل توجه دیگری که با مشاهده طرح توزیع تنش در فک دیده می‌شود این است که در قسمت خلفی راموس تمرکز تنشهای فشاری و در قسمت قدامی کنديل، قسمت قدامی راموس و زانه کرونوئید، تمرکز تنشهای کششی ملاحظه می‌گردد و در هریک از این حالت‌های تماسی میزان تنش در ناحیه فورامن ماندیبولا رکه محل عبور عروق و اعصاب فک پایین است، بسیار کم می‌باشد. (اشکال شماره ۲ و ۳)

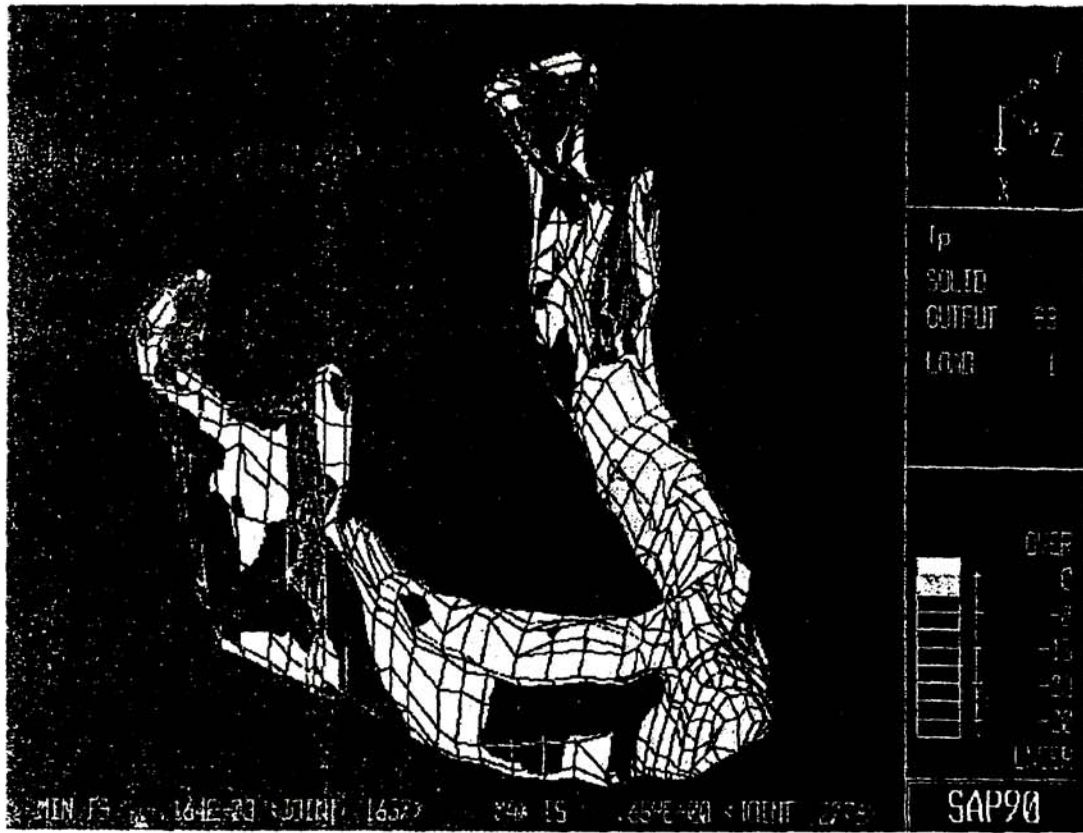
### بحث:

براساس نتایج به دست آمده از حالت‌های کامپیوتربوی اجرا شده می‌توان میزان تنش، نحوه توزیع و محل تمرکز آن را بررسی کرد. با توجه به جدول شماره ۲ و ۳ مشخص می‌شود که کاهش تعداد نقاط تماس به طور یکنواخت و در تمامی نواحی باعث کاهش میزان تنشهای فشاری و کششی می‌گردد و طرح توزیع تنش تفاوتی نمی‌یابد، ولی تغییر محل تماسها و تمرکز آنها در یکی از نقاط خلف یا قدام باعث تغییر میزان تنشهای فشاری و کششی می‌گردد به گونه‌ای که انتقال تماسها به خلف باعث کاهش تنشهای فشاری و افزایش تنشهای کششی و انتقال تماسها به قدام باعث افزایش تنشهای فشاری و کششی می‌شود. این یافته‌ها با نتایج Hylander در سال ۱۹۷۹ (۷)، Throckmorton (۹) در سال ۱۹۸۹ و Ferrario (۱۰)، در سال ۱۹۹۲ مطابقت دارد. این موضوع توجیه کننده علت تمایل بیماران پروتپز کامل به استفاده از ناحیه پرمولرها در هنگام مصرف غذاهای سخت‌تر نسبت به غذاهای نرمتر می‌تواند باشد بدین ترتیب بیمار سعی می‌کند با توجه به خاصیت الاستیسیته استخوان فک میزان نیرو را افزایش و غذا را خُرد نماید. همچنین نحوه توزیع تنش با نتایج بدست آمده از بررسیهای نورکشسانی فک

پایینی مطابقت دارد. طبق بررسیهای Caputo (۵) و Standle (۶) تنش در چهار مسیر از جمله لبه قدامی راموس و لبه خلفی آن انتقال می‌یابد، با توجه به تصاویر شماره ۲ و ۳ که چگونگی توزیع تنش در فک را به روش اجزای محدود نشان می‌دهد می‌توان مشابهت آنها را مشاهده کرد. نکته‌ای که در این ناحیه دیده می‌شود این است که لبه خلفی راموس تحت تنشهای فشاری و لبه قدامی راموس تحت تنشهای کششی قرار می‌گیرد. همچنین برخلاف اظهارات آنها که یکی از مسیرهای توزیع تنش، از ناحیه مولرها به طور مایل به طرف کندیل است، در این تحقیق مشخص گردید که به علت وجود فورامن ماندیبولا ر در این مسیر موضوع امکان ندارد.



شکل شماره ۲



شکل شماره ۳

نکته قابل توجه دیگر مربوط به ناحیه فورامن ماندیبولا ر است. Ash (۱۶) شلينبرگ (۱۷) و هوبيو (۱۸) ذكر كرده‌اند که در طی حرکات انتقالی فک محور چرخش از کندیل به اين ناحیه يا نزديك به آن تغيير محل می‌يابد. نحوه حرکت فک در طی حرکت انتقالی که توأم با حرکت چرخشی نيز هست مشابه حرکت دستگاه سينترون می‌باشد و تعیین مرکز چرخش آن نيز براساس محاسبات مهندسي قابل دستیابی است. همچنین در اين تحقیق مشخص گردید که در طی حالات مختلف تماسی در اين ناحیه حداقل تجمع تنفس مشاهده می‌گردد که براساس فيزيولوژی ناحیه و عبور عروق و اعصاب از اين ناحیه کاملاً توجيه‌پذير است.

#### نتيجه‌گيري:

ميزان و نحوه توزيع تنفس با توجه به حالات مختلف تماس دندانهای مصنوعی با هم در فک پايان مورد بررسی قرار گرفت و نتایج زير بدست آمد:

۱- در تماس دو طرفه دندانها طرح توزيع تنفس با تغيير تماسهای دندانی تغييری نمی‌کند

ولی مقادیر آن تغییر می‌کند.

- ۲- محل تمرکز تنش فشاری در ناحیه خلفی در زاویه فک و محل تمرکز تنش کششی در قسمت قدامی سرکنده قرار دارد و تحت شرایط مختلف تماسی محل آن تغییر نمی‌کند.
- ۳- در ناحیه راموس، قسمت خلفی راموس تحت تنشهای فشاری و قسمت قدامی آن تحت تنشهای کششی قرار می‌گیرد.
- ۴- هرچه نقاط تماس دندانی در ناحیه قدامیتر قرار گیرد میزان تنشهای فشاری و کششی افزایش می‌یابد و هرچه نقاط تماس دندانی در ناحیه خلفیتر قرار گیرد میزان تنشهای فشاری کاهش و کششی افزایش می‌یابد.
- ۵- تحت هر شرایط تماسی ناحیه فورامن ماندیبولا ر تحت تنشهای کششی و فشاری بسیار کمی قرار می‌گیرد.



## REFERENCES:

- 1) Darbar UR. *Stress analysis techniques in complete dentures*. *J Dent* 1994; 22: 259-264.
- 2) Craig R, Farah R C, Jen W. Three photoelastic stress analysis of maxillary complete dentures. *J Prosth dent* 1974; 31: 122-129.
- 3) Ledley S R Theoetical analysis of displacement and force distribution for tissue - bearing surface of dentiws. *J dent Res* 1968; 17: 318-322.  
۴) ویلسون ادوارد. ال؛ حبیب ... اشرف. تحلیل استاتیک و دینامیکی سازه‌ها، ترجمه عباس مختارزاده. چاپ دوم، تهران: نشر سالکان؛ ۱۳۷۴.
- 5) Ralph J P, Caputo A A. Analysis of stress patternsin the human Mandible. *J Dent Res* 1972; 54: 814-821.
- 6) Standle J P, [et al]. Stress trajectories within the mandible under occlusal loads *J Dent Res* 1977; 56: 1297-1302.
- 7) Hylander WLBy R. An Invivo strain gauge analysis. *J Arch Oral Biol* 1979; 24: 689-697.
- 8) Haskell B, Day M, Tetz J. Computer - aided modeling in the assessment of the biomechanical determination of diverse skeletal patterns. *Am J Orthod* 1986; 89: 363-382.
- 9) Throckmorton G S, Throckmorton L S. Quantitative calculations of .... *J Biomech* 1985; 445-452.
- 10 Ferraio V F, Sforza C. Biomechanical model of the .... *J Prosth dent* 1992; 66: 829-835.
- 11)Hatt R T, [et al]. Modeling the biomechanics of the mandible: A Three Dimensional finite element study. *J biomech* 1992; 25: 261-286.
- 12)Korioth T W, [et al]. Three dimensional finite element stress analysis of the dentate human mandible. *Ame J Phys Anthropol* 1992; 88: 69-96.
- 13)Korioth T W, Hannam A G. Deformation of the human mandible during simulated tooth clenching. *J Dent Res* 1994; 73: 56-66.
- 14)Maeda Y, Wood WW. Finite element method simulation of bone resorbtion beneath a complete denture. *J Dent Res* 1989; 68: 1370-1373.
- 15)Korioth T W, Hannam A G. Deformation of the human mandible during simulated tooth clenching. *J Dent Res* 1994; 73: 56-66.
- 16)Ash M M, Ramfjord S. *Occlusion*. 4th ed. Philadelphia: The W.B.

- Saunders Company 1995.
- 17) Shlinberg H T, [et al]. *Fundamentals of fixed prosthodontics*. 3rd ed. [S.L]: The Quintessence Publishing Co. Ltd; 1997.
- 18) Hobo S, Ichida E, Garcia LT. *Osseointegration and Occlusal Rehabilitation*. [S.L]: The Quintessence Publishing Co. 1991.

\* \* \*